

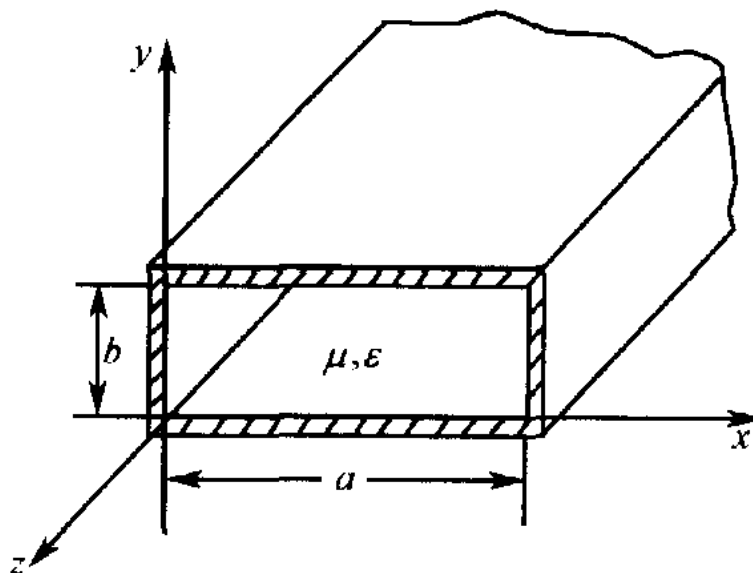
§ 1.4 波导与同轴线

二、波导传输线

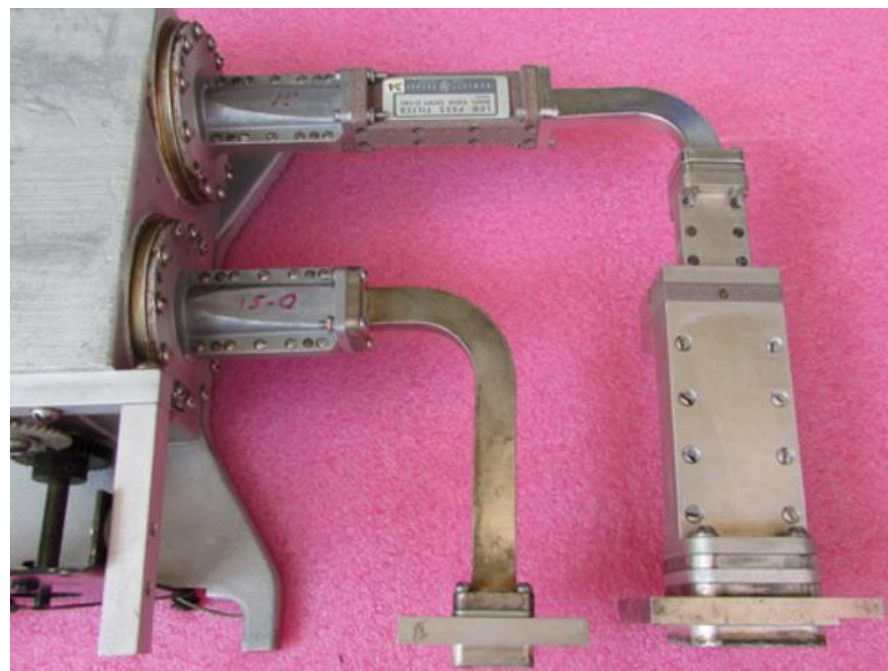
1. 矩形波导

矩形波导是应用最广泛的一种导波系统，宽边尺寸为 a ，窄边尺寸为 b ，管壁一般用紫铜材料。

对理想波导，假定波导内填充无损介质（通常是空气），波导壁的损耗也忽略不计。实际应用的波导，损耗都很小，在工程上一般都可将其近似看成理想波导。



§ 1.4 波导与同轴线



§ 1.4 波导与同轴线

由(1-27d)可知: $\nabla_t^2 E_z + k_c^2 E_z = 0$ $\nabla_t^2 H_z + k_c^2 H_z = 0$

其中: $E_z = E_z(x, y)e^{-\gamma z}$ $H_z = H_z(x, y)e^{-\gamma z}$

可得:
$$\frac{\partial^2 E_z(x, y)}{\partial x^2} + \frac{\partial^2 E_z(x, y)}{\partial y^2} + k_c^2 E_z(x, y) = 0$$

$$\frac{\partial^2 H_z(x, y)}{\partial x^2} + \frac{\partial^2 H_z(x, y)}{\partial y^2} + k_c^2 H_z(x, y) = 0$$

分离变量, $E_z(x, y)$ 和 $H_z(x, y)$ 都可以表示为 $X(x)Y(y)$

纵向分量解为:

$$E_z(x, y) = (A_1 \cos k_x x + A_2 \sin k_x x)(A_3 \cos k_y y + A_4 \sin k_y y)$$

$$H_z(x, y) = (B_1 \cos k_x x + B_2 \sin k_x x)(B_3 \cos k_y y + B_4 \sin k_y y)$$

其中的 A_k 、 B_k 、 k_x 、 k_y 为积分常数。

§ 1.4 波导与同轴线

(1) TM 波

TM 波 $E_z \neq 0$ $H_z = 0$ 而且

$$E_z = (A_1 \cos k_x x + A_2 \sin k_x x)(A_3 \cos k_y y + A_4 \sin k_y y) e^{-\gamma z}$$

代入TM 波的边界条件:

横向电场为零，波导内壁表面电场切向分量为零。

$$E_z |_{x=0} = E_z |_{x=a} = E_z |_{y=0} = E_z |_{y=b} = 0$$

$$\text{得到: } A_1 = 0 \quad A_3 = 0 \quad k_x = \frac{m\pi}{a} \quad k_y = \frac{n\pi}{b}$$

$$\text{即: } k_c^2 = k_x^2 + k_y^2 = \left(\frac{m\pi}{a}\right)^2 + \left(\frac{n\pi}{b}\right)^2$$

$$E_z = E_0 \sin\left(\frac{m\pi}{a} x\right) \sin\left(\frac{n\pi}{b} y\right) e^{-\gamma z}$$

将上式及 $\gamma = j\beta$ 代入式 (1-28) 即可得到TM波的各个场分量

§ 1.4 波导与同轴线

TM 波各场分量的完整解为:

$$E_x = -j \frac{\beta}{k_c^2} \frac{m\pi}{a} E_0 \cos\left(\frac{m\pi}{a}x\right) \sin\left(\frac{n\pi}{b}y\right) e^{-\gamma z}$$

$$E_y = -j \frac{\beta}{k_c^2} \frac{n\pi}{b} E_0 \sin\left(\frac{m\pi}{a}x\right) \cos\left(\frac{n\pi}{b}y\right) e^{-\gamma z}$$

$$E_z = E_0 \sin\left(\frac{m\pi}{a}x\right) \overset{E_z \neq 0}{\sin\left(\frac{n\pi}{b}y\right)} e^{-\gamma z}$$

$$H_x = j \frac{\omega\epsilon}{k_c^2} \frac{n\pi}{b} E_0 \sin\left(\frac{m\pi}{a}x\right) \cos\left(\frac{n\pi}{b}y\right) e^{-\gamma z}$$

$$H_y = -j \frac{\omega\epsilon}{k_c^2} \frac{m\pi}{a} E_0 \cos\left(\frac{m\pi}{a}x\right) \sin\left(\frac{n\pi}{b}y\right) e^{-\gamma z}$$

§ 1.4 波导与同轴线

式中 E_0 是振幅常数， m 和 n 是由波导边界条件决定的正整数，称为**波指数**。

m 表示沿波导宽边 a 分布的半驻波数，

n 表示沿窄边 b 分布的半驻波数。

每一对 (m, n) 对应一种电磁场分布，即某种波形（或模式）。

从 E_z 的表达式可以看出 m 、 n 不能为零， m 、 n 的取值只能是 1, 2, 3, ..., 所以矩形波导中不存在 TM_{00} 、 TM_{m0} 、 TM_{0n} 波形， TM_{11} 是 TM 波中的最简单波形。为了满足边界条件，截止波数只能取离散值。

§ 1.4 波导与同轴线

(2) TE 波

TE 波 $E_z = 0$ $H_z \neq 0$ 而且

$$H_z(x, y) = (B_1 \cos k_x x + B_2 \sin k_x x)(B_3 \cos k_y y + B_4 \sin k_y y)$$

代入TE 波的边界条件:

横向电场为零，波导内壁表面电场切向分量为零。

$$E_y|_{x=0} = E_y|_{x=a} = E_x|_{y=0} = E_x|_{y=b} = 0$$

$$\text{得到: } B_2 = 0 \quad B_4 = 0 \quad k_x = \frac{m\pi}{a} \quad k_y = \frac{n\pi}{b}$$

$$\text{即: } k_c^2 = k_x^2 + k_y^2 = \left(\frac{m\pi}{a}\right)^2 + \left(\frac{n\pi}{b}\right)^2$$

$$H_z = H_0 \cos\left(\frac{m\pi}{a}x\right) \cos\left(\frac{n\pi}{b}y\right) e^{-\gamma z}$$

将上式及 $\gamma = j\beta$ 代入式 (1-28) 即可得到TE波的各个场分量

§ 1.4 波导与同轴线

(2) TE 波

TE 波各场分量的完整解为

$$E_x = j \frac{\omega\mu}{k_c^2} \frac{n\pi}{b} H_0 \cos\left(\frac{m\pi}{a}x\right) \sin\left(\frac{n\pi}{b}y\right) e^{-\gamma z}$$

$$E_y = -j \frac{\omega\mu}{k_c^2} \frac{m\pi}{a} H_0 \sin\left(\frac{m\pi}{a}x\right) \cos\left(\frac{n\pi}{b}y\right) e^{-\gamma z}$$

$$H_x = j \frac{\beta}{k_c^2} \frac{m\pi}{a} H_0 \sin\left(\frac{m\pi}{a}x\right) \cos\left(\frac{n\pi}{b}y\right) e^{-\gamma z}$$

$$H_y = j \frac{\beta}{k_c^2} \frac{n\pi}{b} H_0 \cos\left(\frac{m\pi}{a}x\right) \sin\left(\frac{n\pi}{b}y\right) e^{-\gamma z}$$

$$H_z = H_0 \cos\left(\frac{m\pi}{a}x\right) \cos\left(\frac{n\pi}{b}y\right) e^{-\gamma z}$$

§ 1.4 波导与同轴线

式中 H_0 是振幅常数。

从 H_z 的表达式可以看出 m, n 不能同时为零，其取值为 $m = 0, 1, 2, \dots$ ； $n = 0, 1, 2, \dots$ 所以矩形波导中，不存在 TE_{00} 波形。若 $a > b$ ，则最简单的 TE 波是 TE_{10} 波，其截止波数 k_c 的表达式与 TM 波相同。

问题：在矩形波导的波形中，为什么没有讨论 TEM 波？

(3) 传输特性

将所求得的 TM 和 TE 波场线性叠加，可以完整地表示出矩形波导中所有可能存在的场。波指数 m, n 不同，就有不同的场分布，而且一般也具有不同的传输特性，但是它们都满足矩形波导的边界条件而独立地存在于矩形波导中，这称为正规波的**正交性**。

§ 1.4 波导与同轴线

截止波长是决定波的传输特性的重要参数

$$\lambda_c = \frac{2\pi}{k_c} = \frac{2}{\sqrt{\left(\frac{m}{a}\right)^2 + \left(\frac{n}{b}\right)^2}}$$

它表明每个以波指数 m 、 n 表征的正规波，都有对应的截止波长，而该波的传输条件为 $\lambda_0 < \lambda_c$ ，因此，不同的波形有不同的传输条件。

对波指数相同的 TE 和 TM 波来说，具有相同的截止波长，也就具有了相同的传输条件，但它们的场结构显然是不同的。这种具有不同的场结构，而有相同的传输参数的现象，称为“简并”。

只有 TE_{m0} 和 TE_{0n} 波没有简并模，这是因为不存在 TM_{m0} 和 TM_{0n} 波形的缘故。

§ 1.4 波导与同轴线

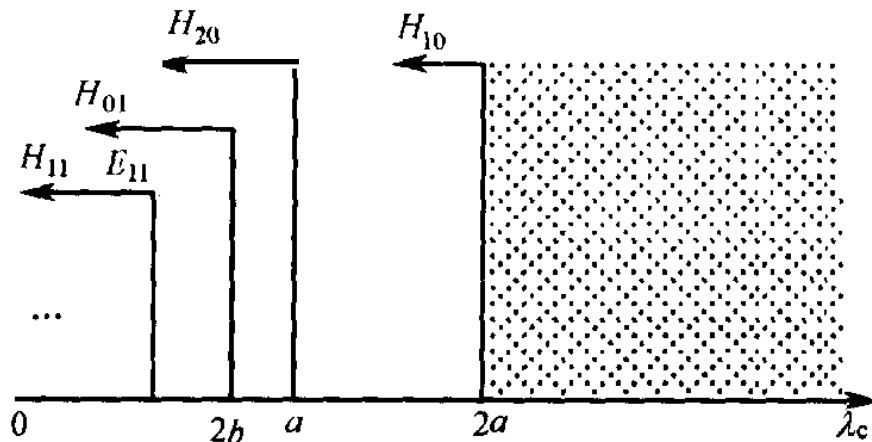
由截止波长公式可知，对给定的波导尺寸 a 、 b ，波指数 m 、 n 越大，截止波长越短。

在 $a > 2b$ 时，截止波长分布如图所示，显然当 $\lambda_0 > 2a$ 时，波导中不能传输任何波，处于截止状态；

当 $\lambda_0 < 2a$ 时，才有传输波，因此也称波导为**高通滤波器**。

当 $a < \lambda_0 < 2a$ 时，可传输 TE_{10} 波，即 TE_{10} 波具有最长的截止波长，因此称其为波导的最低波形或主模式。

随着 λ_0 减小，波导中依次出现 TE_{20} 、 TE_{01} 、 TE_{11} 和 TM_{11} 等，这些波形称为波导的高次模式，



§ 1.4 波导与同轴线

要想使波导中只传输单模（即主模式） TE_{10} 波，就得抑制所有的高次模。单模传输，可通过适当选择波导尺寸得到。对于 $a > 2b$ 的情况，实现单模工作的条件为：

$$\lambda_c(\text{TE}_{20}) < \lambda_0 < \lambda_c(\text{TE}_{10})$$

$$\lambda_c(\text{TE}_{01}) < \lambda_0$$

即要求电磁波的工作波长满足

$$a < \lambda_0 < 2a \quad \lambda_0 > 2b$$

当工作波长给定时,则波导尺寸必须满足

$$\frac{\lambda_0}{2} < a < \lambda_0 \quad b < \frac{\lambda_0}{2}$$

最后对照矩形波导的标准系列选用合适的波导。

§ 1.4 波导与同轴线

(4) 主模式 TE_{10} 波

① 场结构及表面电流分布

TE_{10} 波是波导传输波形中的最低波形，也是主模式，其场方程为

$$\begin{cases} H_z = H_0 \cos \frac{\pi x}{a} e^{-j\beta z} \\ H_x = j \frac{\beta}{k_c^2} H_0 \frac{\pi}{a} \sin \frac{\pi x}{a} e^{-j\beta z} \\ E_y = -j \frac{\omega\mu}{k_c^2} H_0 \frac{\pi}{a} \sin \frac{\pi x}{a} e^{-j\beta z} \end{cases}$$

由上式可以看出， TE_{10} 模只有 E_y 、 H_x 和 H_z 三个场分量，而且它们在 z 方向均为行波分布，且以速度 $v_p = \omega/\beta$ 向正 z 方向传播。

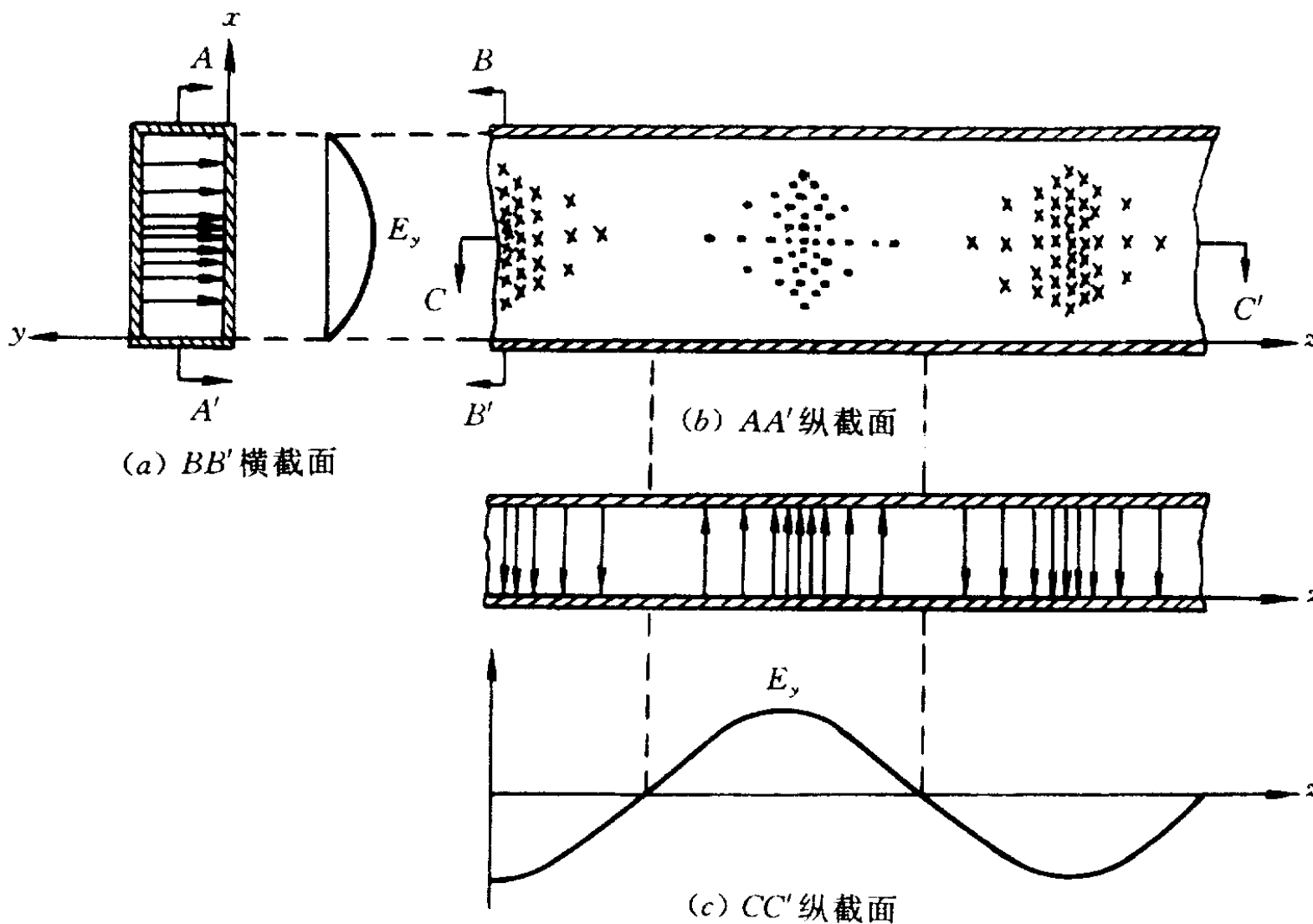
§ 1.4 波导与同轴线

TE₁₀模的电场只有 E_y 一个分量,其振幅正比于 $\sin(\pi x/a)$,而与 y 无关,即 E_y 分量振幅沿 x 方向呈正弦分布,沿 y 方向无变化。若用电力线的疏密表示 E_y 的强弱,则在宽壁中央电力线最密,向两边逐渐稀疏;由于 E_y 分量表达式中带有负号,因此电力线指向 $-y$ 方向; E_y 表达式中有行波因子 $e^{-j\beta z}$,故沿 z 方向是行波分布。因此在某一个瞬间电场 E_y 分布图如图所示。

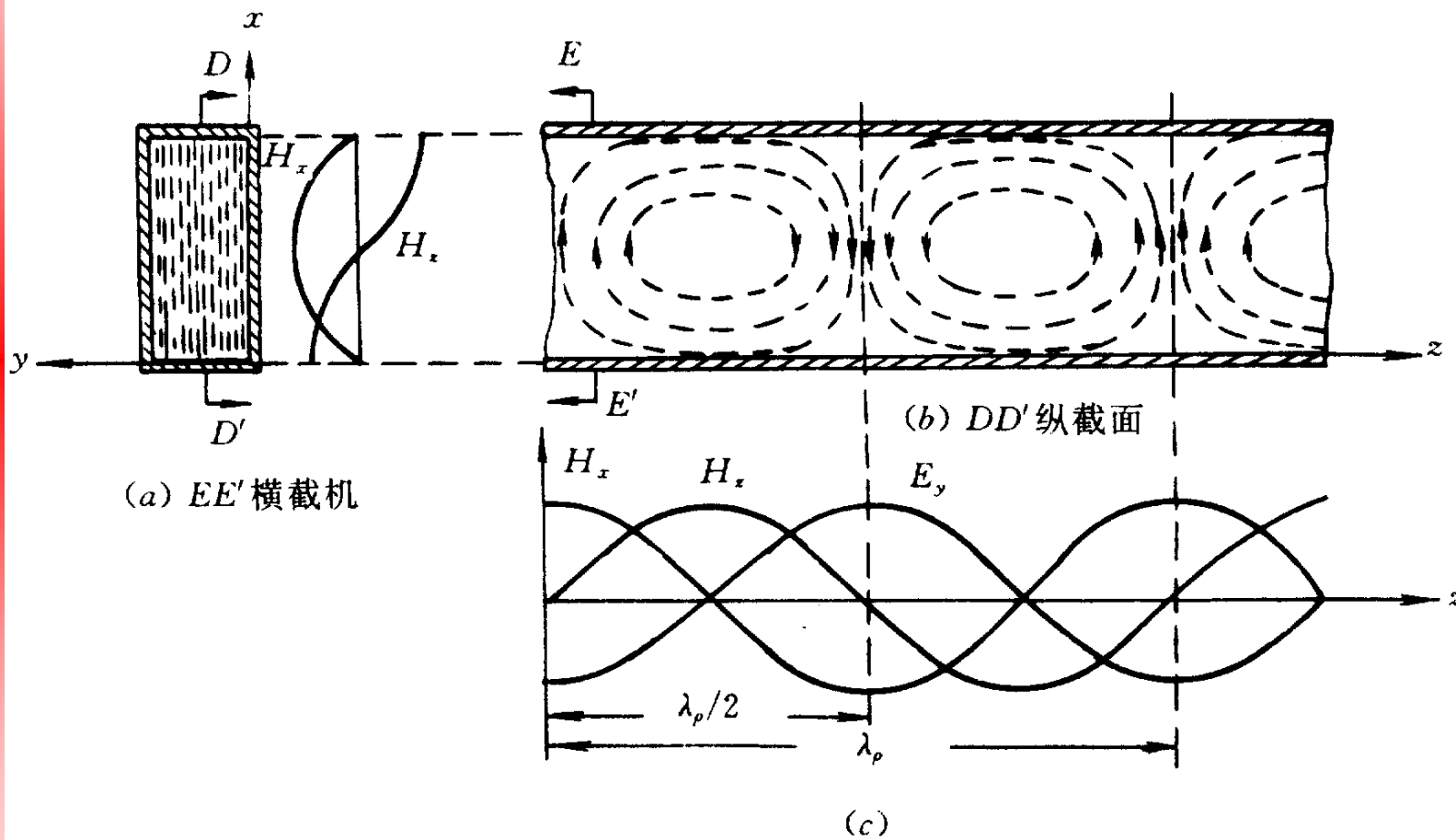
将电场分布的结构图与磁场分布的结构图结合在一起,并考虑 E_y 、 H_x 及 H_z 之间的相位关系,即可得到TE₁₀模完整的场结构图。

由图可见,场的各个分量沿宽边 a 只变化一次,即有一个半驻波分布,是沿窄边 b 均匀分布,这是因为 $m=1$ 及 $n=0$ 的缘故。

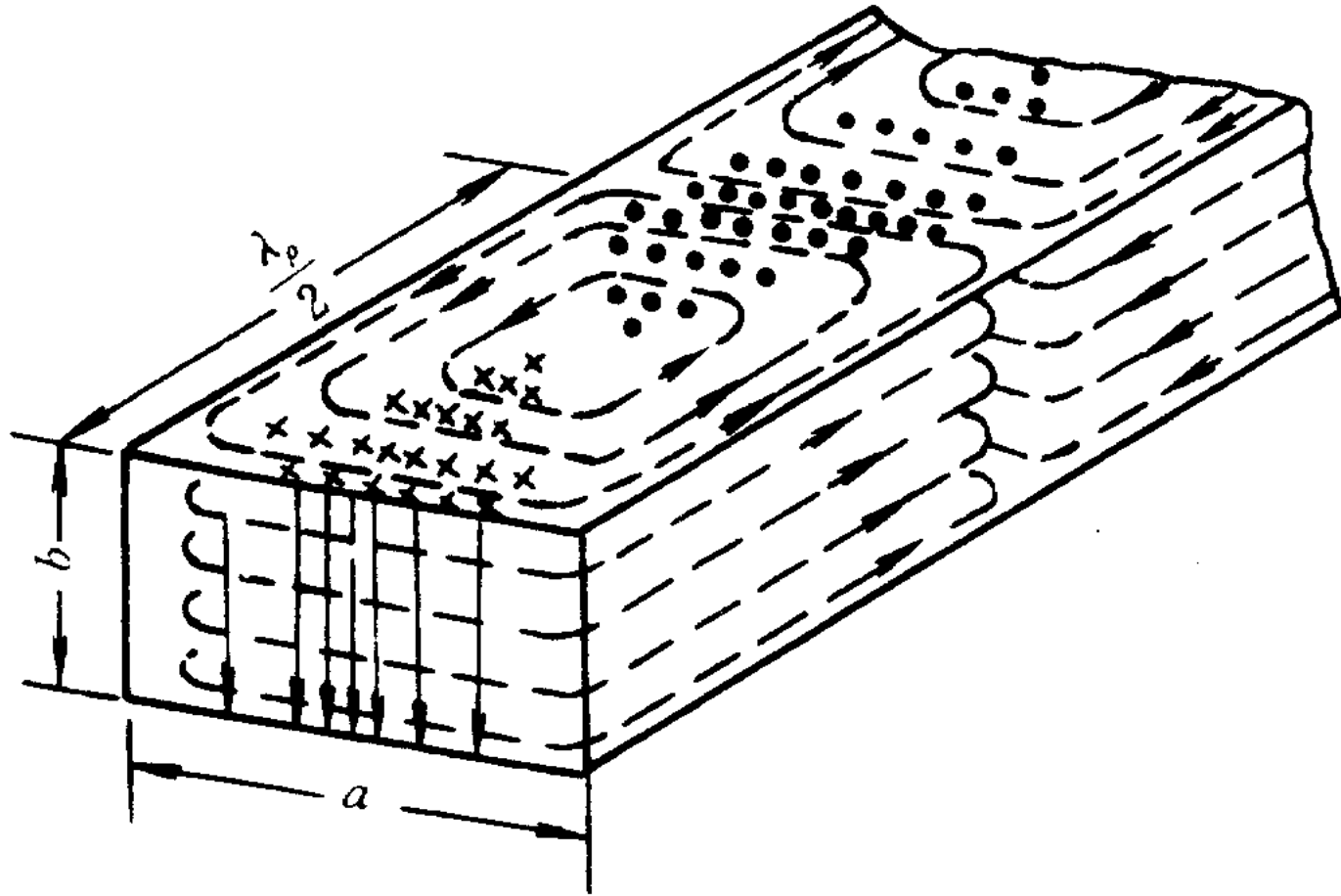
§ 1.4 波导与同轴线



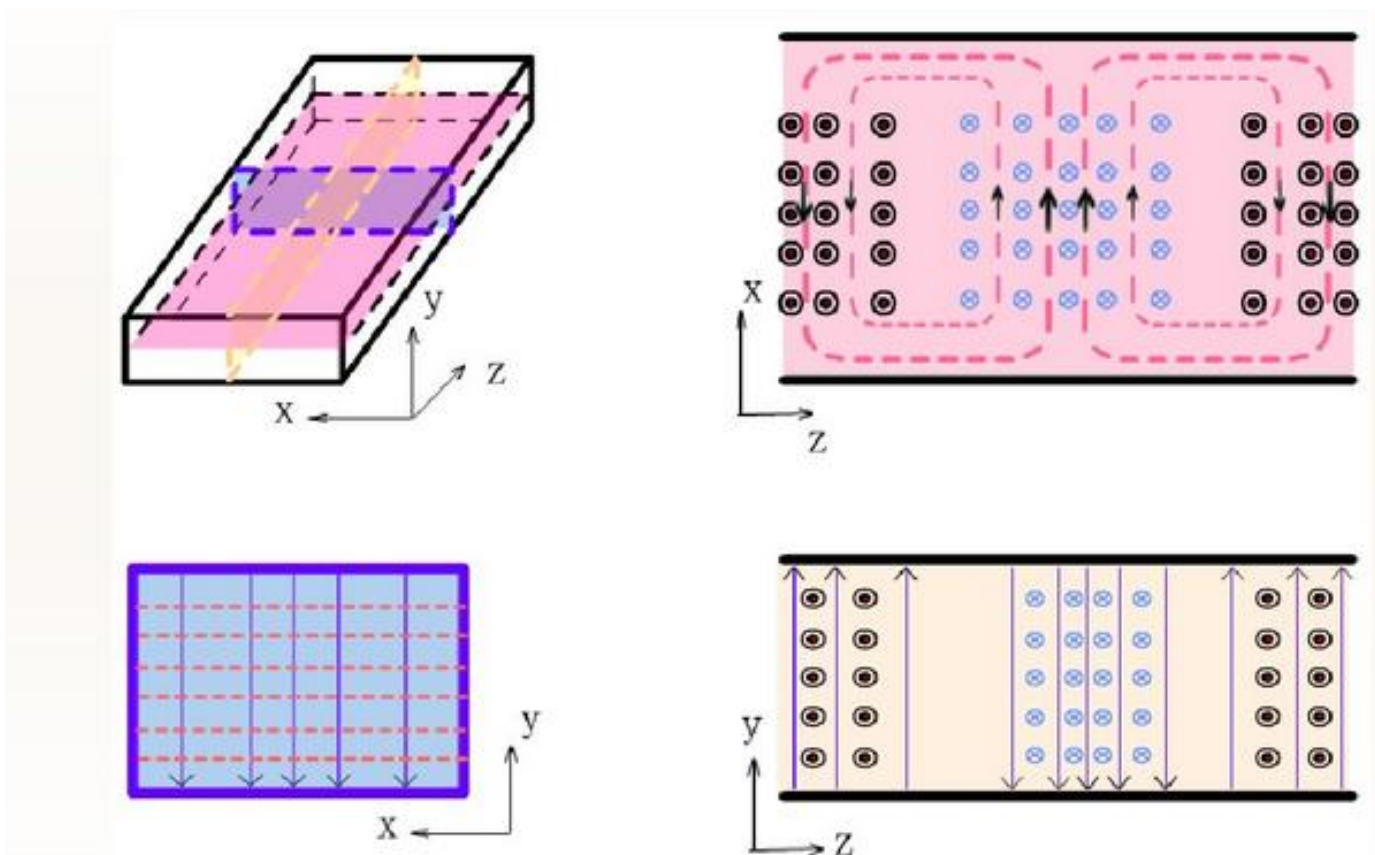
§ 1.4 波导与同轴线



§ 1.4 波导与同轴线

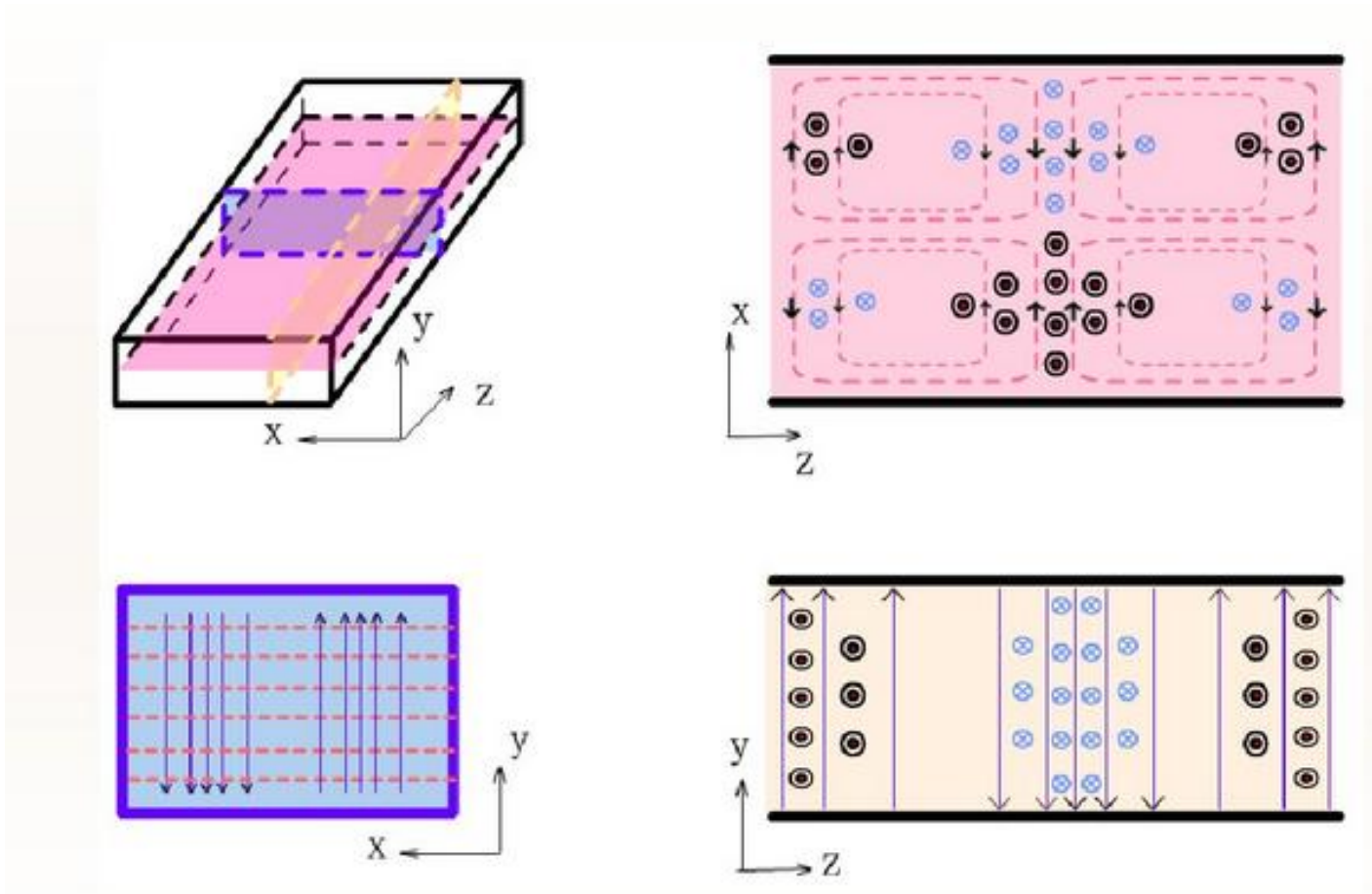


§ 1.4 波导与同轴线



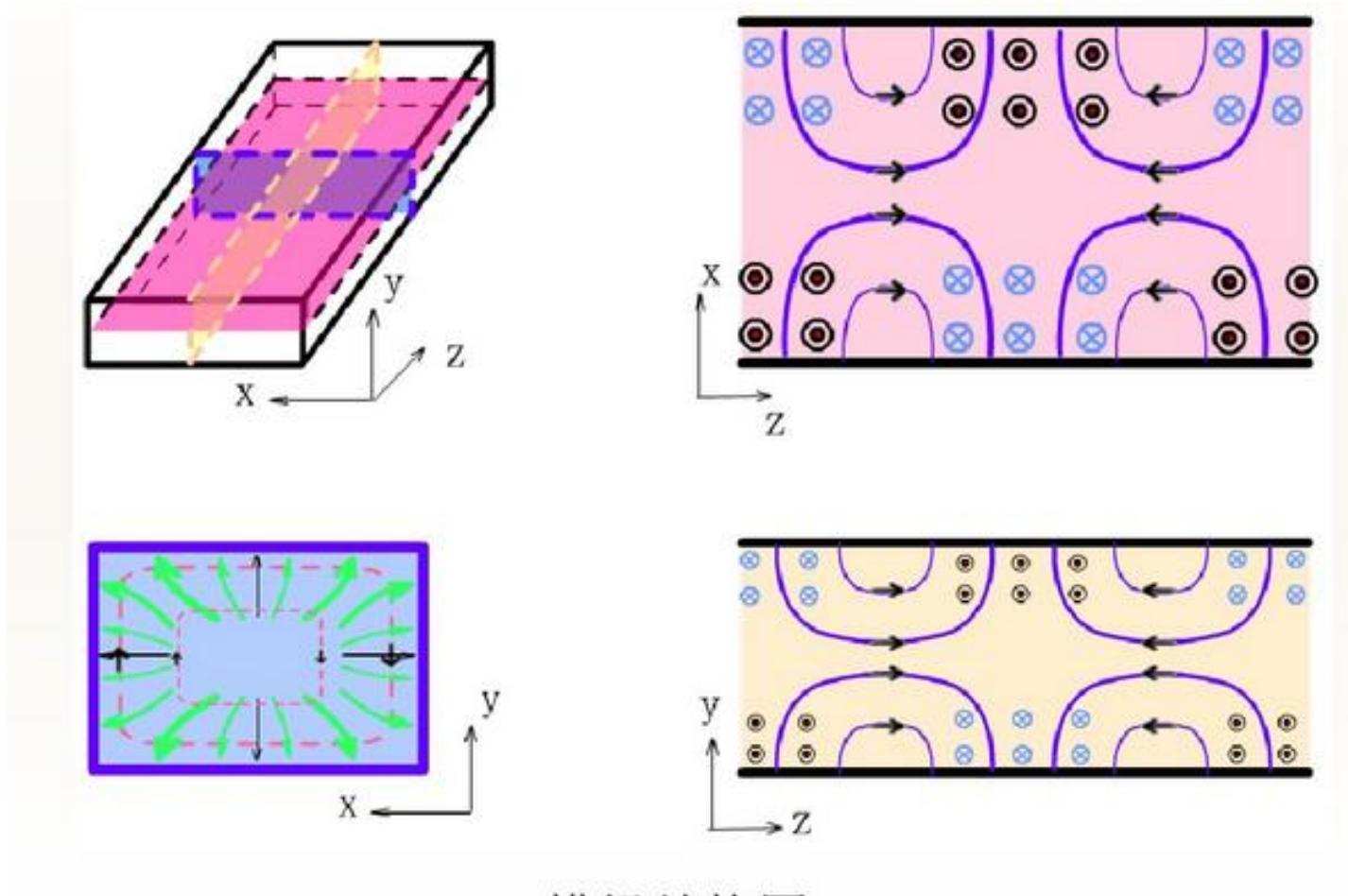
TE₁₀模场结构图

§ 1.4 波导与同轴线



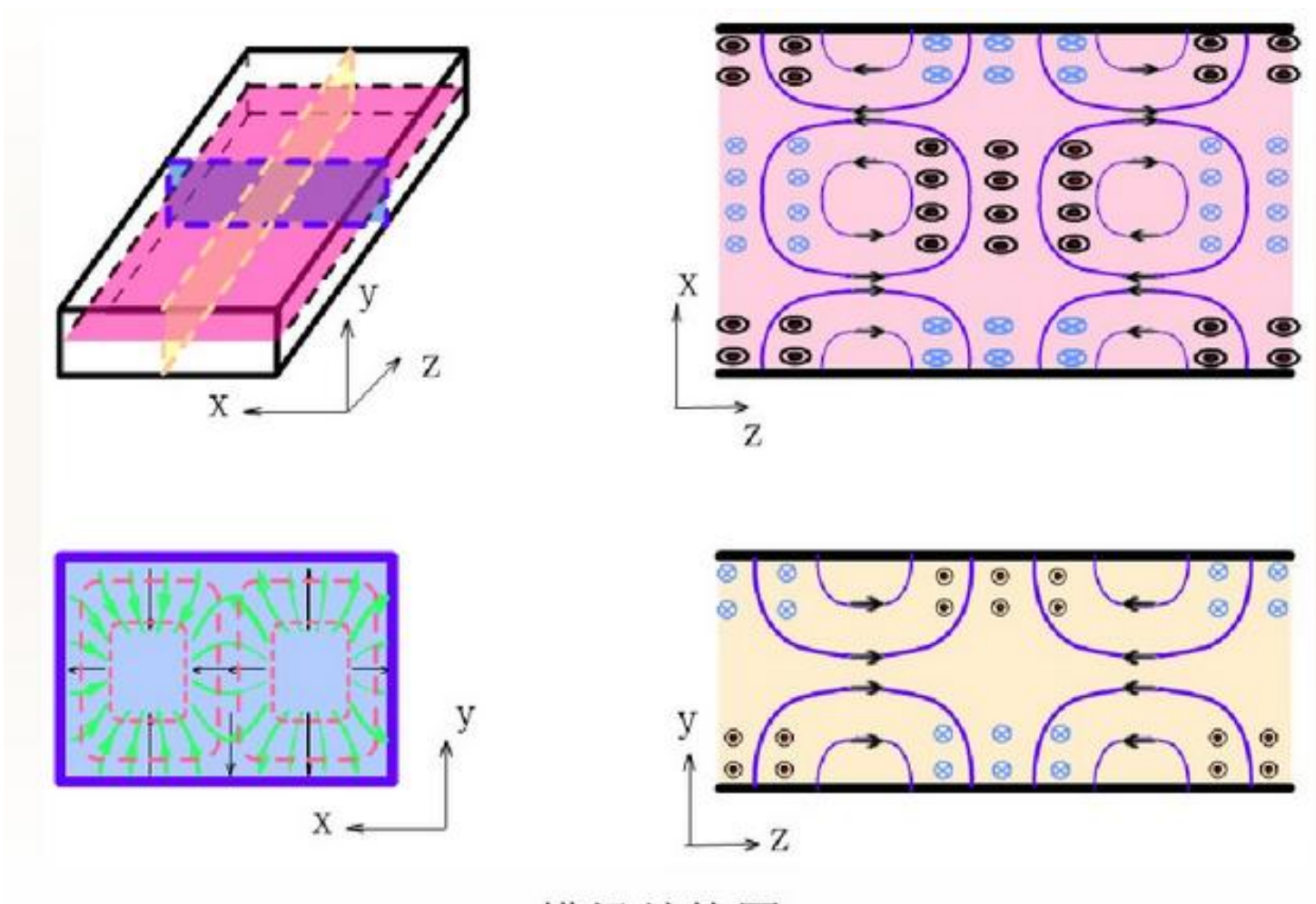
TE₂₀模场结构图

§ 1.4 波导与同轴线



TM_{11} 模场结构图

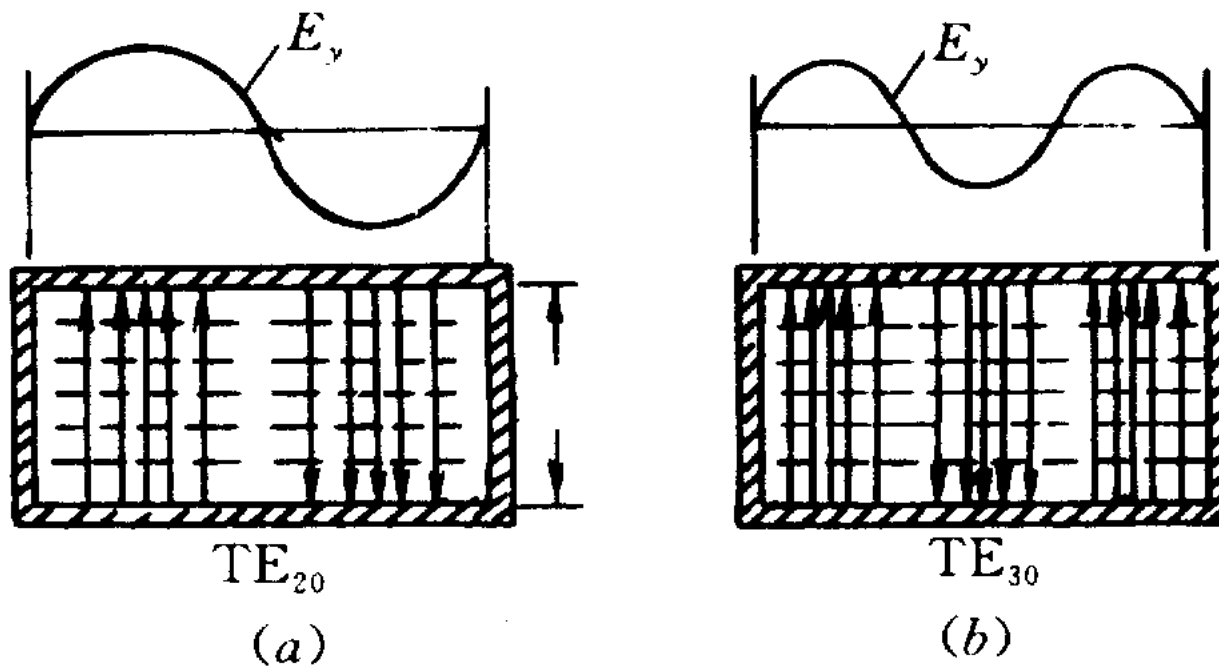
§ 1.4 波导与同轴线



TM_{21} 模场结构图

§ 1.4 波导与同轴线

TE_{20} 、 TE_{30} 、...、 TE_{m0} 等模式的场分布沿波导宽边 a 分别有 2 个、3 个、...、 m 个 TE_{10} 模的场结构的基本单元；而沿窄边 b 场分布为均匀分布，图 (a) 和 (b) 分别表示 TE_{20} 模和 TE_{30} 模在横截面上的场结构图。



§ 1.4 波导与同轴线

研究场结构和电流分布不仅有助于分析波形的特点，而且也有其实用意义。

例如在图中，波导内的吸收片平面与 TE_{10} 波的电场 E_y 平行，由于 E_y 沿波导宽边为正弦分布，当吸收片紧贴窄壁“ $x=0$ ”时，其上电场 $E_y=0$ ，此时吸收片基本不吸收所传输的微波功率，故其损耗为零。当吸收片逐渐向波导宽边中心移动时，衰减量也逐渐增大，直到移到宽边中央（ $x=a/2$ ）处时， E_y 有最大值。此时吸收片吸收的能量最大，衰减也最大。利用此特点可构成吸收式可变衰减器。

